

Диаграммы режимов теплофикационных паровых турбин для парогазовых установок

© 2012 г. Култышев А.Ю.^{1,2}, Степанов М.Ю.¹, Линдер Т.Ю.¹
ЗАО УТЗ¹ – УрФУ²

На основании известных подходов сформулированы общие соображения по виду диаграммы режимов теплофикационных турбин для ПГУ, состоящей из диаграммы и многочисленных поправок, которые необходимо учитывать при пользовании диаграммой. Представлена диаграмма режимов для паровой турбины Т-113/145-12.4 для ПГУ-410 Краснодарской ТЭЦ.

Диаграмма режимов работы турбин в графической форме выражает зависимость между расходом свежего пара ($G_{\text{турб}}$), электрической мощностью (N_e), тепловой нагрузкой турбоагрегатов (Q_t) и другими параметрами, определяющими режим работы турбоустановок и их тепловую экономичность. При построении диаграммы режимов учитывается работа каждого конкретного турбоагрегата в целом, включая конденсационную установку и систему подогрева питательной воды. Наличие диаграммы режимов позволяет выделить область возможных режимов работы турбоустановки и определить тепловую экономичность каждого из них. Наглядность представления, удобство пользования и достаточная для большого круга практических задач точность обусловили широкое использование диаграммы режимов при проектировании и эксплуатации ТЭЦ [1, 2].

Построение диаграммы режимов выполняется на основании расчетов тепловых балансов переменных режимов турбоагрегата. Количество параметров, определяющих его тепловую экономичность, довольно велико. Кроме $G_{\text{турб}}$, N_e и Q_t таковыми являются: давление в отопительном отборе (p_t), температура (t_0) и давление (p_0) свежего пара, расход ($W_{\text{o.b.}}$) и температура ($t_{\text{o.b.}}$) охлаждающей воды и др. Соответственно диаграмма режимов для турбины типа Т в общем случае должна выражать зависимость

$$F(G_{\text{турб}}, N_e, Q_t, p_t, p_0, t_0, W_{\text{o.b.}}, t_{\text{o.b.}}) = 0. \quad (1)$$

Диаграмма режимов паровых турбин для парогазовых установок (ПГУ) имеет несколько особенностей. Количество параметров, определяющих тепловую экономичность турбоагрегата для ПГУ (как двухконтурной, так и трехконтурной с промежуточным перегревом пара), значительно больше: наряду с расходом пара высокого давле-

ния ($G_{\text{ВД}}$), N_e , Q_t необходимо учитывать расход пара среднего давления ($G_{\text{СД}}$ – для трехконтурной ПГУ), расход пара низкого давления ($G_{\text{НД}}$), температуру пара высокого давления ($t_{\text{ВД}}$), температуру промежуточного перегрева ($t_{\text{п.п.}}$ – для трехконтурной ПГУ), температуру низкого давления ($t_{\text{НД}}$), давления ВД ($p_{\text{ВД}}$) и в отопительном отборе (p_t), температуру обратной сетевой воды (τ_2), $t_{\text{o.b.}}$, $W_{\text{o.b.}}$, а также температуру наружного воздуха ($t_{\text{н.в.}}$). Соответственно диаграмма режимов турбины типа Т для ПГУ в общем случае должна выражать зависимость

$$\begin{aligned} & F(G_{\text{ВД}}, G_{\text{СД}}, G_{\text{НД}}, N_e, Q_t, p_t, t_{\text{ВД}}, \\ & p_{\text{ВД}}, t_{\text{п.п.}}, t_{\text{НД}}, \tau_2, W_{\text{o.b.}}, t_{\text{o.b.}}) = 0. \end{aligned} \quad (2)$$

Уравнения (1) и (2) могут быть изображены на плоскости без искажений при числе членов $n \leq 3$. Если $n > 3$, изображение диаграммы режимов на плоскости может быть получено только при замене действительной взаимосвязи переменных на приближенные зависимости, что вносит погрешность в диаграмму режимов, причем тем более значительную, чем больше число переменных в уравнениях (1) и (2). Поэтому целесообразно ограничить число независимых параметров для построения диаграммы режимов.

Основные переменные для построения диаграммы режимов для турбин типа Т – $G_{\text{турб}}$, N_e и Q_t . Соответственно уравнение (1) будет иметь вид

$$F(G_{\text{турб}}, N_e, Q_t) = 0.$$

Основные переменные при построении диаграммы режимов для турбин для ПГУ – $G_{\text{ВД}}$, $G_{\text{СД}}$, $G_{\text{НД}}$, Q_t , они с достаточно большой степенью точности определяют N_{et} на теплофикационных режимах. Остальные параметры приняты постоянными.

Дополнительная сложность построения диаграммы режимов для турбин для ПГУ состоит в том, что турбина работает на скользящих параметрах пара, что связано с изменением не только параметров контуров ВД, СД и НД, но и расходов

¹ 620017, г. Екатеринбург, ул. Фронтовых Бригад, д. 18. ЗАО “Уральский турбинный завод”.

² 620002, г. Екатеринбург, ул. Мира, д. 19. Уральский федеральный университет.

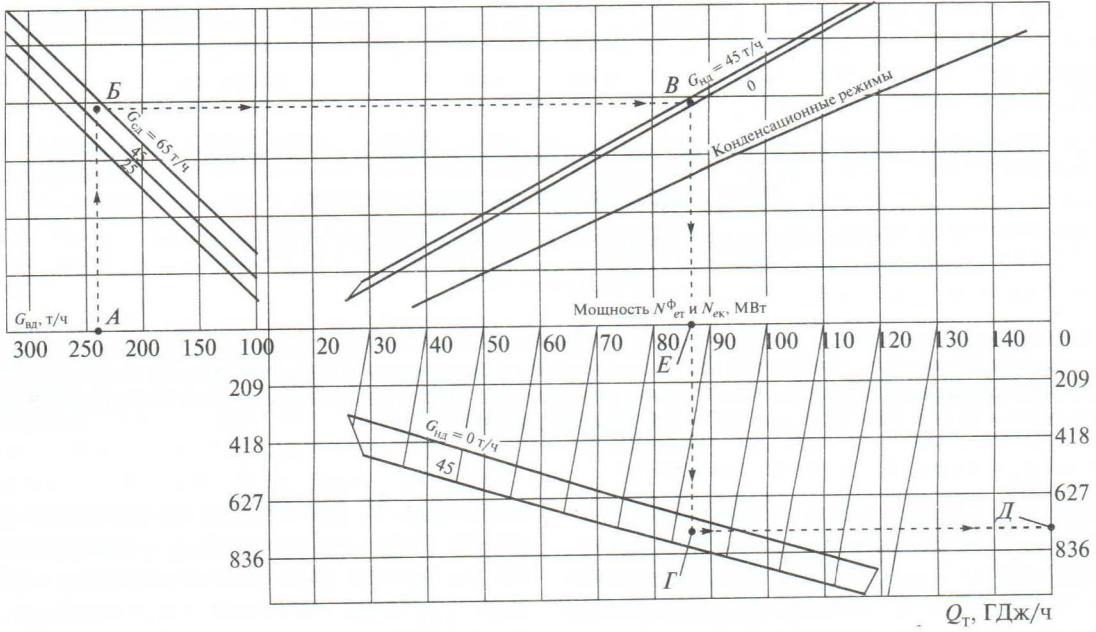


Рис. 1. Основной квадрант диаграммы режимов турбины Т-113/145-12.4 при двухступенчатом подогреве сетевой воды

пара в них. Облегчающим обстоятельством является то, что по условиям работы котла-утилизатора (КУ) давление пара НД должно поддерживаться органами паропуска НД турбины постоянным при определенной температуре.

Рассмотрим диаграмму режимов для трехконтурной ПГУ с промежуточным перегревом пара, например турбины Т-113/145-12.0 для ПГУ-410 Краснодарской ТЭЦ. Основной квадрант диаграммы режимов для этой турбины представлен на рис. 1. Для повышения точности построения диаграммы режимов при расчете тепловых балансов принята зависимость $t_{\text{НД}} = f(G_{\text{НД}})$ для $t_{\text{Н.в}} = +15^\circ\text{C}$. Для других $t_{\text{Н.в}}$ зависимость $t_{\text{НД}} = f(G_{\text{НД}})$ будет иметь несущественные отличия. Соответственно диаграмма режимов выражает зависимость

$$F(G_{\text{ВД}}, N_e, Q_t, G_{\text{СД}}, G_{\text{НД}}) = 0,$$

что требует ее построения в трех квадрантах, каждый из которых будет выражать определенную зависимость:

левый верхний квадрант

$$F(G_{\text{ВД}}, G_{\text{СД}}, G_{\text{п.п}}) = 0;$$

правый верхний квадрант

$$F(G_{\text{п.п}}, G_{\text{НД}}, N_e) = 0;$$

нижний квадрант

$$F(N_e, Q_t, G_{\text{НД}}) = 0.$$

На диаграмме режимов координата $G_{\text{п.п}}$ (расход пара промежуточного перегрева, равный сумме расходов пара $G_{\text{ВД}}$ и $G_{\text{СД}}$ с учетом утечек) не приводится, поскольку

$$G_{\text{п.п}} = F(G_{\text{ВД}}, G_{\text{СД}}).$$

Так как диаграмма режимов строится для приведенных выше параметров пара, то электрическая мощность называется фиктивной и на шкале мощности имеет обозначение N_e^{Φ} . При работе по тепловому графику значение N_e^{Φ} определяется по изображенными линиям $G_{\text{НД}}$ правого верхнего квадранта и принимается по данным шкалы мощности, значение Q_t находится в нижнем квадранте.

Электрический график характеризуется наличием конденсационного расхода пара. Если при неизменных значениях $G_{\text{ВД}}$, $G_{\text{СД}}$ и $G_{\text{НД}}$ уменьшить тепловую нагрузку на ΔQ_t , то это приведет к увеличению мощности турбины на $\Delta N_{\text{ек}}$ в результате выработки конденсационной мощности в ступенях, расположенных между отопительными отборами, и в ступенях цилиндра низкого давления.

Мощность турбин при работе по электрическому графику с расходами пара $G_{\text{ВД}}$, $G_{\text{СД}}$ и $G_{\text{НД}}$, равными соответствующим расходам на режиме теплового графика, составляет

$$N_e = N_{\text{ет}} + \Delta N_{\text{ек}},$$

где $\Delta N_{\text{ек}} = f(\Delta Q_t, G_{\text{ВД}}, G_{\text{СД}}, G_{\text{НД}})$.

Так как КПД ступеней промежуточного отсека и ступеней ЧНД являются переменными, то приращение мощности $\Delta N_{\text{ек}}$ не пропорционально изменению значений $G_{\text{ВД}}$, $G_{\text{СД}}$ и $G_{\text{НД}}$. Для построения диаграммы режимов принята зависимость приращения мощности

$$\Delta N = k \Delta Q_t,$$

где k – усредненный коэффициент для режима работы турбины по электрическому графику.

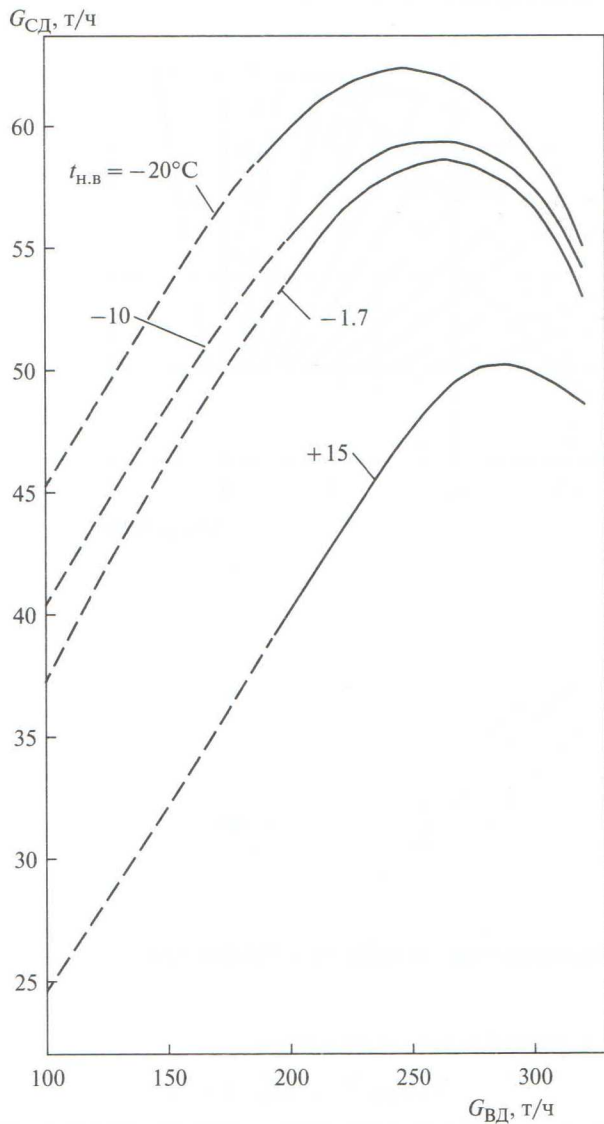


Рис. 2. Зависимость расхода пара среднего давления от температуры наружного воздуха и расхода пара высокого давления турбины Т-113/145-12.4

Таким образом, сама диаграмма режимов позволяет установить фактическую мощность турбины на теплофикационных режимах.

Для определения фактической мощности турбины при скользящих параметрах пара и постоянных значениях p_t , τ_2 и $t_{o.b}$ строятся зависимости $p_{BD} = f(G_{BD})$, $t_{BD} = f(G_{BD})$, $t_{p.p} = f(G_{BD})$, а также $G_{CD} = f(G_{BD}, t_{h.b})$ (рис. 2), $G_{HD} = f(G_{BD}, t_{h.b})$ (рис. 3) и соответствующие поправки к мощности ΔN_p , ΔN_t и $\Delta N_{t_{p.p}}$.

При работе турбины на теплофикационных режимах и отклонениях p_t , τ_2 и $t_{o.b}$ от номинальных значений вводятся поправки к мощности ΔN_{τ_2} , ΔN_{p_t} и $\Delta N_{o.b}$. При работе на конденсационных режимах вводится только поправка $\Delta N_{o.b}$.

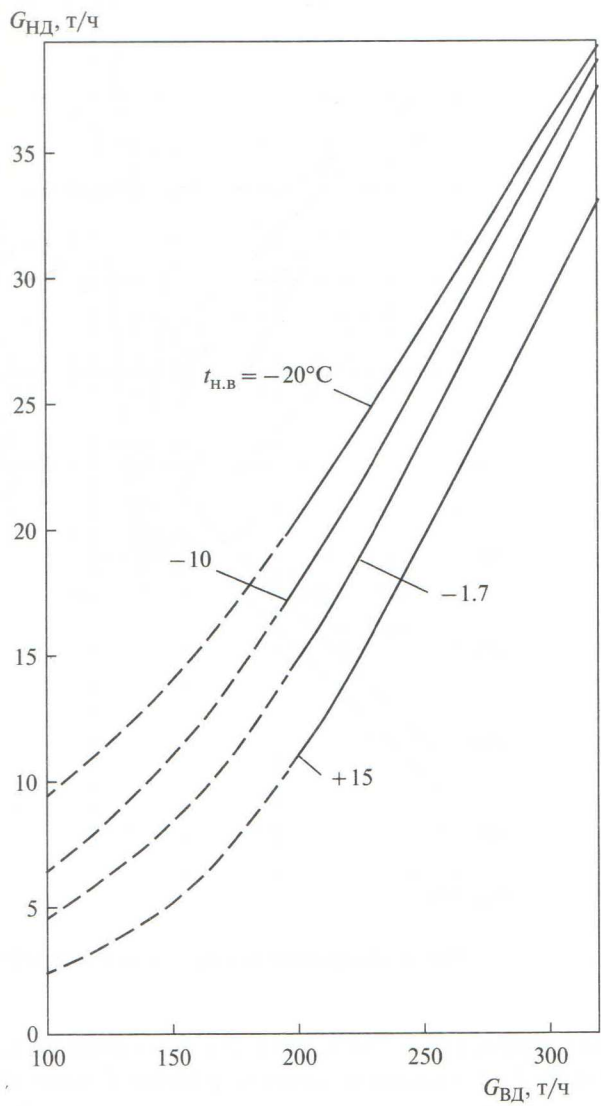


Рис. 3. Зависимость расхода пара низкого давления от температуры наружного воздуха и расхода пара высокого давления турбины Т-113/145-12.4

Приведем пример пользования основным квадрантом диаграммы режимов для турбины Т-113/145-12.4 (см. рис. 1). Турбина работает по тепловому графику, и задано $G_{BD} = 240 \text{ т/ч}$ и $t_{h.b} = -1.7^\circ\text{C}$. По зависимостям $G_{CD} = f(G_{BD}, t_{h.b})$ (см. рис. 2) и $G_{HD} = f(G_{BD}, t_{h.b})$ (см. рис. 3) определяем, что $G_{CD} = 58 \text{ т/ч}$ и $G_{HD} = 22 \text{ т/ч}$. По рис. 1 от точки *A* ($G_{BD} = 240 \text{ т/ч}$) в левом верхнем квадранте входим вертикаль до пересечения с линией $G_{CD} = 58 \text{ т/ч}$ в точке *B*. Из точки *B* проводим горизонталь до пересечения с линией $G_{HD} = 22 \text{ т/ч}$ в точке *B* в правом верхнем квадранте. Из точки *B* опускаем вертикаль до пересечения с линией $G_{HD} = 22 \text{ т/ч}$ в точке *Г* в нижнем квадранте. Из точки *Г* ведем горизонталь до пересечения со шкалой тепловой нагрузки в точке *Д*. Определяем значение тепло-

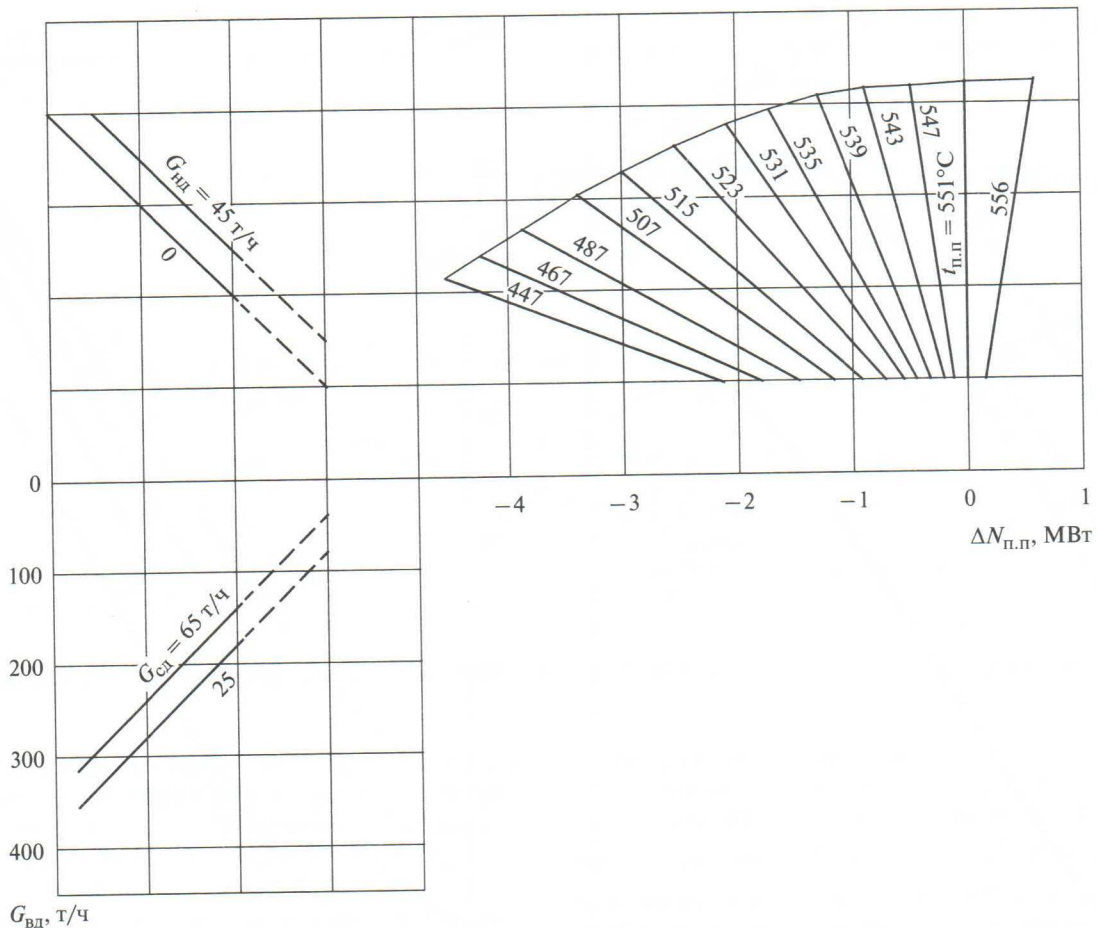


Рис. 4. Поправка к мощности на температуру промперегрева пара для турбины Т-113/145-12.4

вой нагрузки $Q_t = 757 \text{ ГДж/ч}$. На пересечении линии $B-G$ со шкалой мощности в точке E находим значение фиктивной мощности турбины $\Delta N_{et}^\phi = 86.6 \text{ МВт}$.

Поправочные кривые позволяют учесть влияние изменения параметров турбоустановки на тепловую экономичность ее работы. Поправки представляют собой зависимости между изменением рассматриваемых параметров и соответствующим изменением мощности турбины. Они определяются при неизменных расходах пара высокого давления, а также при номинальных значениях всех остальных параметров на основании приближенных расчетов или по данным испытаний.

Особенность построения поправок в диаграмме режимов турбин для ПГУ состоит в том, что поправка также строится в трех квадрантах.

Поправка к мощности на $t_{n,n}$ для турбины Т-113/145-12.4 приведена на рис. 4.

Нижний квадрант отражает зависимость

$$F(G_{VD}, G_{CD}, G_{n,n}) = 0,$$

верхний левый квадрант

$$F(G_{n,n}, G_{HD}, G_{CO}) = 0,$$

верхний правый квадрант

$$F(G_{CO}, t_{n,n}, \Delta N_{n,n}) = 0,$$

где G_{CO} – расход пара через ступени среднего отсека, предшествующие отбору пара из ПСГ-2.

Поправка к мощности на p_{VD} для турбины Т-113/145-12.4 приведена на рис. 5.

Нижний квадрант отражает зависимость

$$F(G_{VD}, G_{CD}, G_{n,n}) = 0,$$

верхний левый квадрант

$$F(G_{n,n}, G_{HD}, G_{CO}) = 0,$$

правый верхний квадрант

$$F(G_{CO}, p_{VD}, \Delta N_p) = 0.$$

По такому же принципу строятся остальные поправки.

Приведем пример пользования поправками к мощности к диаграмме режимов. Основной квадрант диаграммы режимов построен при $p_{VD} = 12.4 \text{ МПа}$. При отклонении этого значения необходимо пользоваться поправкой к мощности на p_{VD} (см. рис. 5). Задано $G_{VD} = 220 \text{ т/ч}$, $p_{VD} = 11.8 \text{ МПа}$ и $t_{n,b} = -1.7^\circ\text{C}$. По зависимостям $G_{CD} = f(G_{VD}, t_{n,b})$

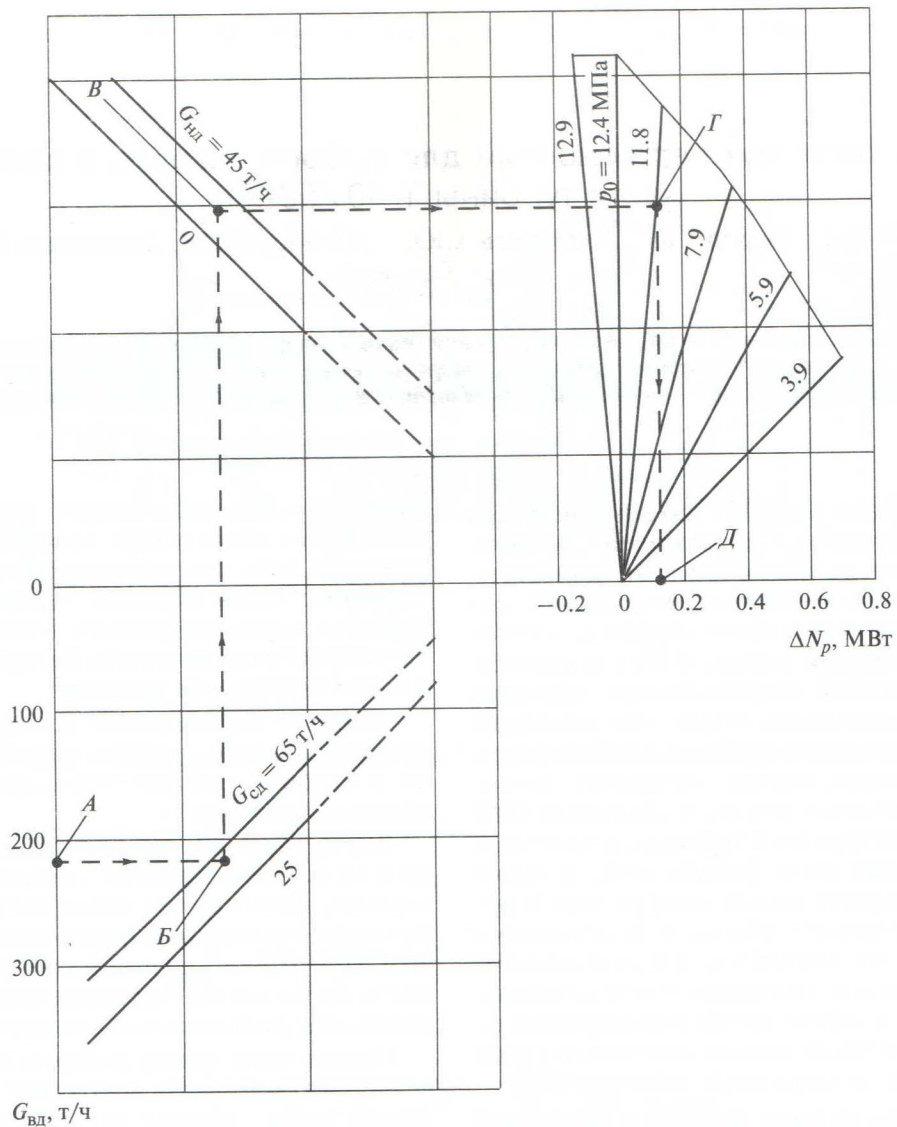


Рис. 5. Поправка к мощности на давление свежего пара для турбины Т-113/145-12.4

(см. рис. 2) и $G_{\text{HD}} = f(G_{\text{BD}}, t_{\text{н.в}})$ (см. рис. 3) определяем, что $G_{\text{CD}} = 55.8$ т/ч, а $G_{\text{HD}} = 18.2$ т/ч. По рис. 5 от точки A ($G_{\text{BD}} = 220$ т/ч) в нижнем квадранте проводим горизонталь до пересечения с линией $G_{\text{CD}} = 55.8$ т/ч в точке B . Из точки B опускаем вертикаль до пересечения с линией $G_{\text{HD}} = 18.2$ т/ч в точке B в левом верхнем квадранте. Из точки B проводим горизонталь до пересечения с линией $p_{\text{VD}} = 11.8$ МПа в точке Γ в правом верхнем квадранте. Из точки Γ строим вертикаль до пересечения со шкалой поправки к мощности в точке ΔN_p . Определяем значение поправки к мощности от p_{VD} , получаем $\Delta N_p = 0.12$ МПа. Таким же способом используются другие поправки к мощности.

Построение диаграммы режимов может быть автоматизировано, для этого по результатам окончательных расчетов тепловых балансов заполняется массив данных, которые используются как исходные данные для построения соответствующих зависимостей.

Список литературы

1. Паровые турбины и турбоустановки Уральского турбинного завода / Г.Д. Баринберг, Ю.М. Бродов, А.А. Гольдберг и др. Екатеринбург: Априо, 2010.
2. Бененсон Е.И., Иоффе Л.С. Теплофикационные паровые турбины / под ред. Д.П. Бузина. М.: Энергоатомиздат, 1986.